

Список литературы

- [1] Бочаров Ю.В., Вужва А.Д. // Письма в ЖТФ. 1988. Т. 14. № 16. С. 1460-1462.
- [2] Акопян Р.С., Алавердян Р.Б., Чилингариан Ю.С. // Письма в ЖТФ. 1986. Т. 12. № 14. С. 858-862.
- [3] Miyamoto K., Shen Y.R. // Appl. Phys. Lett. 1976. V. 28. N 9. P. 473-475.

Акустический институт
им. Н.Н. Андреева,
Москва

Поступило в Редакцию
16 февраля 1989 г.

Письма в ЖТФ, том 15, вып. 6
01; 03; 04

26 марта 1989 г.

КИНЕТИКА ОБРАЗОВАНИЯ ОЗОНА И ОКИСЛОВ АЗОТА ПРИ ИМПУЛЬСНОМ СВЧ РАЗРЯДЕ В ВОЗДУХЕ

В.Ф. Ларин, С.А. Румянцев

Электрический разряд в кислороде приводит к диссоциации молекул и практически полной конверсии образованного атомарного кислорода, в озон [1]. В воздухе, кроме кислорода диссоциирует азот, приводя к образованию окислов азота, разрушающих озон. Лабораторные эксперименты, в которых разряд в воздухе осуществлялся длительной последовательностью мощных СВЧ импульсов, показывают, что при этом производство окислов азота превалирует над образованием озона [2], и ставят вопрос об оптимизации параметров воздействующего импульса и состояния газа, направленной на увеличение выхода озона и уменьшение - окислов азота. Актуальность вопроса обусловлена многолетним уменьшением содержания озона в атмосфере [3] и необходимостью исследования возможностей его искусственного воспроизведения.

В данной работе выполнено численное моделирование кинетики плазмохимических процессов в разряде, вызванном одиночным СВЧ импульсом в воздухе на высотах стратосферы. Резкое различие в характерных временах процессов при СВЧ разряде позволяет разделить задачу на три этапа. На первом этапе импульс первичного пробоя, для которого выполняются оптимальные условия ионизации [4] (частота волны $f = 10$ ГГц для высоты 30 км, амплитуда электрического поля $E_1 \approx 5 E_k$, E_k - критическое поле пробоя), за время $\sim 10^{-8}$ с создает концентрацию электронов около 10% от критической концентрации n_c для частоты f [4]: $n_e = 10^{11} \text{ см}^{-3} \approx 0.1 n_c$. На втором этапе созданная ионизированная область подвергается воздействию поддерживающего СВЧ импульса

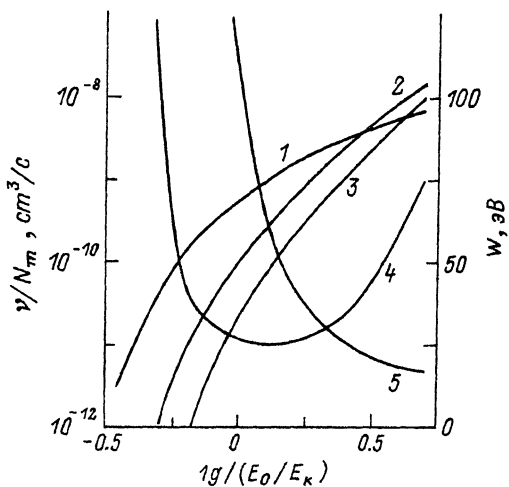


Рис. 1. Зависимость частот образования ν (кривая 1-О, 2 - $N(^4S)$, 3 - $N(^2D)$) и энергетической цены W атома кислорода (кривая 4) и азота (5) от напряженности поля E_0 .

длительностью τ и амплитудой $E_0 \sim E_k$. Образованные горячие электроны производят возбуждение и диссоциацию основных молекулярных составляющих воздуха N_2 , O_2 , в результате чего возникают химически активные атомы N и O . На третьем этапе, после окончания поддерживающего импульса, продолжается химическая эволюция с участием O , N и других составляющих, приводящая к образованию озона и окислов азота.

Частоты возбуждения и диссоциации молекул O_2 , N_2 при различных значениях поля E_0 вычислялись, используя решение кинетического уравнения для функции распределения электронов в высокочастотном поле [5] и сечения возбуждения и диссоциации электронным ударом [6, 7]. Эволюция состава воздушной смеси описывалась системой уравнений химической кинетики для основных состояний компонент O , N , O_3 , NO , NO_2 , NO_3 и возбужденных состояний $O_2(a^1A_g)$, $N(^2D)$, взаимодействующих друг с другом и с N_2 , O_2 в 14 реакциях, наиболее существенных для образования и распада озона и окислов азота по данным [1, 8, 9].

На рис. 1 представлены зависимости частот образования атомов N , O , нормированных на концентрацию молекул воздуха N_m , и энергетической цены образования N , O от величины E_0 . Энергетическая цена определяется как отношение поглощенной энергии СВЧ поля к количеству образованных атомов. Видно, что при значениях поля $E_0 \lesssim E_k$ образование атомов N существенно затруднено по сравнению с образованием O , что отражает разницу в энергетических порогах диссоциации N_2 (≈ 10 эВ) и O_2 (≈ 5 эВ) [6, 7].

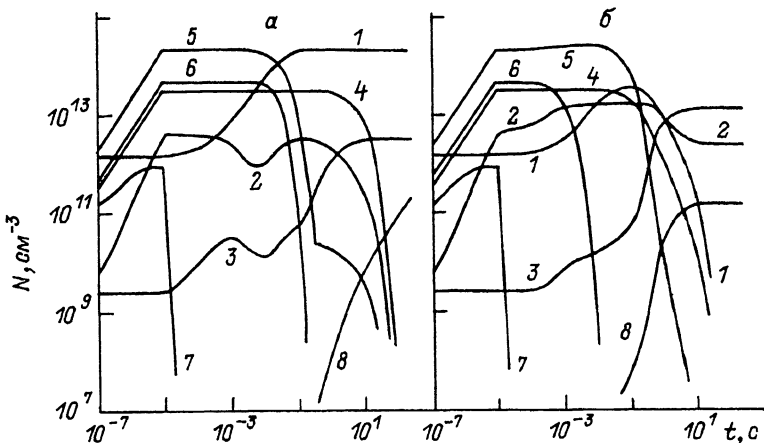


Рис. 2. Эволюция концентраций составляющих газовой смеси: кривая 1- O_3 , 2 - NO , 3 - NO_2 , 4 - O_2 (α^1Ag), 5 - O , 6 - N , 7 - $N(^2D)$, 8 - NO_3 для значений температуры газа 220 К (а), 500 К (б); $\tau=10^{-5}$ с, $E_0=E_k$.

Зависимость концентраций компонент, образующихся в разряде, от времени приведена на рис. 2 для двух значений температуры газа $T=220$ К (рис. 2, а), $T=500$ К (рис. 2, б). Начальные значения концентраций различных компонент соответствуют условиям в атмосфере на высоте 30 км, в том числе начальное отношение концентраций окислов азота и озона $\delta_0=3 \cdot 10^{-3}$. Расчеты для двух значений температуры иллюстрируют влияние нагрева газа СВЧ импульсом на химическую эволюцию состава: первое значение соответствует ситуации, когда нагрев незначителен, второе – сильному нагреву [10]. Приведенные на рис. 2, а графики показывают, что при низкой температуре газа атомарный кислород полностью преобразуется в озон, за время $t \approx 100$ с основными продуктами становятся озон и окислы азота NO_2 , NO_3 . Концентрация озона увеличивается при этом в $\Delta=200$ раз, величина δ возрастает от начального значения δ_0 до $\delta=1.6 \cdot 10^{-2}$. После $t \approx 100$ с эволюция состава определяется взаимодействием озона с двуокисью азота NO_2 . В случае высокой температуры (рис. 2, б) падает скорость образования озона, растут скорости образования окислов азота и в финальной стадии эволюции озон полностью уничтожается взаимодействием с NO . Основными продуктами процесса являются окислы азота, что соответствует $\delta \rightarrow \infty$. Учитывая зависимости, приведенные на рис. 1, можно было ожидать, что при $E_0 < E_k$ δ будет уменьшаться вследствие роста энергетической цены атома азота, т.е. как результат более интенсивного образования атомов O по сравнению с атомами N в ходе поддерживающего импульса. Расчеты показывают, что изменение δ

происходит лишь в случае высокой температуры газа. Например, для значений $E_0=0.5 E_k$, $\tau=10^{-5}$ с, $T=220$ °К получены величины $\Delta=13$, $\delta=1.6 \cdot 10^{-2}$, при $T=500$ °К соответственно $\Delta=7.4$, $\delta=8 \cdot 10^{-2}$ (по сравнению с $\delta \rightarrow \infty$ для $E_0=E_k$). Здесь проявляется нелинейность уравнений химической кинетики, приводящая к тому, что изменение начальных условий в широких пределах приводит к малоотличающемуся конечному результату.

Полученные результаты показывают, что одним из основных факторов, влияющих на соотношение концентраций озона и окислов азота, образующихся под действием СВЧ импульса в атмосфере, является температура газа. Короткий импульс, при котором нагрев незначителен, приводит к образованию озона и окислов азота в соотношении, сравнимо близком к существующему в естественных условиях $\delta_0 \sim (1-5) \cdot 10^{-3}$, что подтверждает предположение [2] о преимущественном образовании озона одиночным импульсом. Длинный импульс, приводящий к значительному нагреву газа, сдвигает процесс в сторону преимущественного образования окислов азота ($\delta \rightarrow \infty$).

С п и с о к л и т е р а т у р ы

- [1] Захаров А.И., Клоповский К.С., Осинцов А.П. и др. // Физика плазмы. 1988. Т. 14. № 3. С. 327-333.
- [2] Аскарьян Г.А., Батанов Г.М., Коцсый И.А., Костинский А.Ю. // ДАН СССР. 1988. Т. 302. № 3. С. 566-569.
- [3] Kerr R.A. // Science. 1988. V. 239. N 4847. P. 1489-1491.
- [4] Борисов Н.Д., Гуревич А.В., Милих Г.М. Искусственная ионизированная область в атмосфере. М.: 1986. 184 с.
- [5] Ларин В.Ф. // Препринт ПГИ-86-08-52. Апатиты. 1986. 23 с.
- [6] Иванов Г.А., Конакина А.И., Иванов В.Е. // Препринт ПГИ-83-10-29. Апатиты. 1984. 42 с.
- [7] Кириллов А.С., Конакина А.И., Иванов Г.А., Иванов В.Е. // Препринт ПГИ-84-05-33. Апатиты. 1984. 63 с.
- [8] Johnston H.S., Podoliske J. // Rev. Geophys. Space Sci. 1978. V. 16. N 4. P. 491-519.
- [9] Torr M.R., Torr D.G. // Rev. Geophys. Space Sci. 1982. V. 20. N 1. P. 91-144.
- [10] Вихарев А.Л., Гитлин М.С., Иванов О.А. и др. // Письма в ЖТФ. 1987. Т. 13. В. 4. С. 223-226.

Поступило в Редакцию
3 февраля 1989 г.